

УДК 514.18

## **ОСОБЕННОСТИ КОНСТРУИРОВАНИЯ ЗАМКНУТОГО ОБВОДА ПЕРВОГО ПОРЯДКА ГЛАДКОСТИ В БН-ИСЧИСЛЕНИИ**

Конопацкий Е.В., к.т.н.,

Крысько А.А.\*

*Мелитопольская школа прикладной геометрии*

Рубцов Н.А.

*Мелитопольский государственный педагогический университет  
им. Богдана Хмельницкого (Украина)*

*В работе представлены исследования способов определения касательных при конструировании замкнутых обводов первого порядка гладкости в БН-исчислении для моделирования замкнутых колец на поверхности резервуара для хранения нефти и нефтепродуктов с учётом несовершенств геометрической формы.*

*Ключевые слова: замкнутый обвод, дуга обвода, касательная, БН-исчисление, точечное уравнение, кривизна кривой.*

**Постановка проблемы.** Данная статья является продолжением работы авторов над исследованием способов аналитического определения незакономерных поверхностей технических форм в БН-исчислении на примере определения действительной поверхности резервуара для хранения нефти и нефтепродуктов с учётом несовершенств геометрической формы. Для построения необходимой поверхности резервуара незакономерной формы, нужно иметь алгоритмы конструирования замкнутых и незамкнутых обводов первого порядка гладкости. Причём замкнутые обводы являются направляющими, а незамкнутые – образующими поверхности резервуара. Однако, во время проведения исследований выяснилось, что построение выпуклого обвода первого порядка гладкости, составленного из дуг кривых Безье 3-го порядка, даёт кривизну, далёкую от окружности. Таким образом, вместо того чтобы получить точное описание заданных несовершенств геометрической формы, в результате получают новые, незапланированные искажения, которые уменьшают достоверность геометрической модели и, в результате, точность расчётов на прочность и устойчивость резервуара. Эта проблема была решена авторами путём подбора длин касательных в точках стыковки обвода.

---

\* Научный руководитель – к.т.н., доцент Конопацкий Е.В.

**Анализ последних исследований и публикаций.** Как отмечалось ранее, в работе [1], исследованиям в области конструирования выпуклых обводов было посвящено большое количество работ, в которых были рассмотрены случаи конструирования обводов с порядком гладкости и чем выше первый, но для моделирования незакономерной поверхности методом подвижного симплекса [2], необходимо их описание именно в рамках БН-исчисления [3].

Геометрические основы конструирования одномерных и двумерных обводов в БН-исчислении были разработаны в работе [4]. Где в рамках БН-исчисления профессором Балубой были предложены алгоритмы моделирования любых обводов первого порядка гладкости, в том числе и замкнутых, с использованием в качестве дуг обвода кривой Безье 3-го порядка. Но использование этих алгоритмов для моделирования непосредственно поверхности резервуаров для хранения нефти и нефтепродуктов, привело к необходимости дальнейших исследований и усовершенствования существующих алгоритмов, предложенных в [4].

**Формулирование целей статьи.** Усовершенствовать существующие алгоритмы моделирования замкнутых обводов первого порядка гладкости с учётом необходимой кривизны результирующей составной замкнутой кривой.

**Основная часть.** Пусть задано  $k$  точек:  $A_1, A_2, \dots, A_k$ , через которые следует провести замкнутый обвод. Это значит, что последняя  $k$ -я дуга обвода будет определяться точками  $A_k$  и  $A_1$ . Такое замыкание обвода необходимо организовать в соответствии с требованиями и на основе алгоритмов, которые были рассмотрены в работе [1]. Также при построении замкнутого обвода следует учесть, что точка  $A_1$  будет совпадать с точкой  $A_{k+1}$  и касательная, которая обеспечивает первый порядок гладкости замкнутого обвода, также будет общей. В соответствии с геометрической схемой построения обвода (рис. 1) для определения касательных и построения дуги обвода на  $i$ -м участке необходимо участие ещё двух точек  $A_{i+1}$  и  $A_{i+2}$ . Учитывая это при построении замкнутого обвода следует принять, что  $A_2 \equiv A_{k+2}$  и  $A_3 \equiv A_{k+3}$ . Это необходимо для определения касательных дуги обвода, для которых также выполняется условие:  $B_1 \equiv B_{k+1}$  и  $C_1 \equiv C_{k+1}$ .

Учитывая всё выше сказанное, получим следующий алгоритм построения замкнутого обвода.

1. Определяем длину отрезка  $A_i A_{i+1}$ :

$$|A_i A_{i+1}| = \sqrt{\sum (A_i - A_{i+1})^2}, i = 1, 2, \dots, k + 1.$$

$|A_{i+1}A_{i+2}|$  определяем из этого же пункта сдвигом на единицу.  
Принимаем  $A_1 \equiv A_{k+1}$  и  $A_2 \equiv A_{k+2}$ .

2. Определяем длину отрезка  $A_iA_{i+2}$ :

$$|A_iA_{i+2}| = \sqrt{\sum (A_i - A_{i+2})^2}, i = 1, 2, \dots, k + 1.$$

Принимаем  $A_1 \equiv A_{k+1}$ ,  $A_2 \equiv A_{k+2}$  и  $A_3 \equiv A_{k+3}$ .

3. Определяем точки  $B_{i+1}$ ,  $C_{i+1}$  формирующие вид дуги обвода:

$$B_{i+1} = (A_{i+2} - A_i) \frac{|A_{i+1}A_{i+2}|}{2|A_iA_{i+2}|} + A_{i+1}, i = 1, 2, \dots, k + 1.$$

$$C_{i+1} = (A_i - A_{i+2}) \frac{|A_iA_{i+1}|}{2|A_iA_{i+2}|} + A_{i+1}, i = 1, 2, \dots, k + 1.$$

Принимаем  $B_1 \equiv B_{k+1}$ ;  $B_2 \equiv B_{k+2}$ ;  $C_1 \equiv C_{k+1}$ ;  $C_2 \equiv C_{k+2}$ .

4. Формируем дугу обвода двойкой кривизны третьего порядка:

$$M_i = A_i \bar{t}^3 + 3B_i \bar{t}^2 t + 3C_{i+1} \bar{t} t^2 + A_{i+1} t^3, \text{ где } i = 2, \dots, k + 1.$$

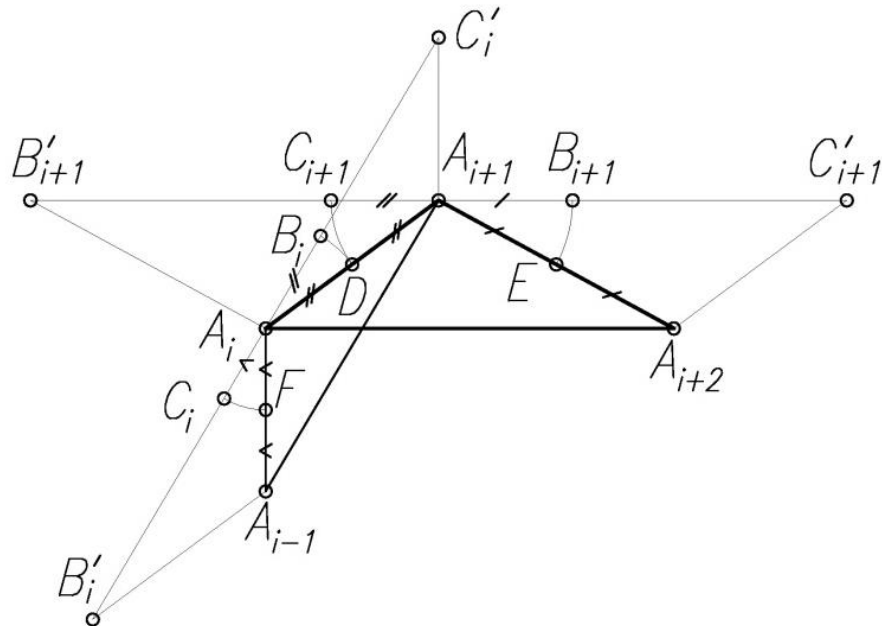


Рис. 1. Подбор касательных во внутренних точках обвода

В предложенном алгоритме, предусмотрено определение точек  $B_{i+1}$  и  $C_{i+1}$ , которые, в свою очередь, задают вид дуги обвода, принадлежат прямой  $B'_{i+1}C'_{i+1}$  и делят соответствующие отрезки  $A_{i+1}A_{i+2}$  и  $A_iA_{i+1}$  пополам. Однако, чтобы получить обвод близкий, по своим характеристикам, к окружности, точки  $B_{i+1}$  и  $C_{i+1}$ , определяющие вид

дуги обвода, должны принадлежать прямой  $B'_{i+1}C'_{i+1}$ , но сумма длин касательных для каждого участка обвода должны быть меньше длины хорды соответствующего участка. Нами экспериментальным путём установлено, что замкнутый обвод имеет наиболее близкую к окружности при следующем определении длин касательных в точках стыковки обвода:

$$|A_{i+1}B_{i+1}| = \frac{|A_{i+1}A_{i+2}|}{\pi}; \quad |A_{i+1}C_{i+1}| = \frac{|A_iA_{i+1}|}{\pi}. \quad (1)$$

Определим исходя из этого условия искомые точки  $B_{i+1}$  и  $C_{i+1}$ :

$$\begin{aligned} \frac{|A_{i+1}B_{i+1}|}{|A_{i+1}C'_{i+1}|} &= \frac{|A_{i+1}A_{i+2}|}{\pi|A_iA_{i+2}|} = \frac{A_{i+1}B_{i+1}}{A_{i+1}C'_{i+1}} \Rightarrow \frac{B_{i+1} - A_{i+1}}{C'_{i+1} - A_{i+1}} = \frac{|A_{i+1}A_{i+2}|}{\pi|A_iA_{i+2}|} \Rightarrow \\ &\Rightarrow B_{i+1} = (C'_{i+1} - A_{i+1}) \frac{|A_{i+1}A_{i+2}|}{\pi|A_iA_{i+2}|} + A_{i+1}. \end{aligned}$$

Далее, учитывая (1), получим:

$$B_{i+1} = (A_{i+2} - A_i) \frac{|A_{i+1}A_{i+2}|}{\pi|A_iA_{i+2}|} + A_{i+1}. \quad (2)$$

Аналогично определяем  $C_{i+1}$ :

$$C_{i+1} = (A_i - A_{i+2}) \frac{|A_iA_{i+1}|}{\pi|A_iA_{i+2}|} + A_{i+1}. \quad (3)$$

Такой подход к подбору касательных можно обобщить следующим образом:

$$\begin{aligned} B_{i+1} &= (A_{i+2} - A_i) \frac{|A_{i+1}A_{i+2}|}{n|A_iA_{i+2}|} + A_{i+1}; \\ C_{i+1} &= (A_i - A_{i+2}) \frac{|A_iA_{i+1}|}{n|A_iA_{i+2}|} + A_{i+1}, \end{aligned} \quad (4)$$

где  $n \geq 2$ , в соответствии с условием, изложенным в [1].

В качестве примера на рис. 2 приведено одно из направляющих колец поверхности резервуара с учётом несовершенств геометрической формы. Соответственно на рисунке 2,а, представлен результат моделирования замкнутого обвода по алгоритму, предложенному в [4], а на рис. 2,б – результат работы усовершенствованного алгоритма, для которого касательные в точках стыковки дуг обвода определяются соотношениями (2) и (3).

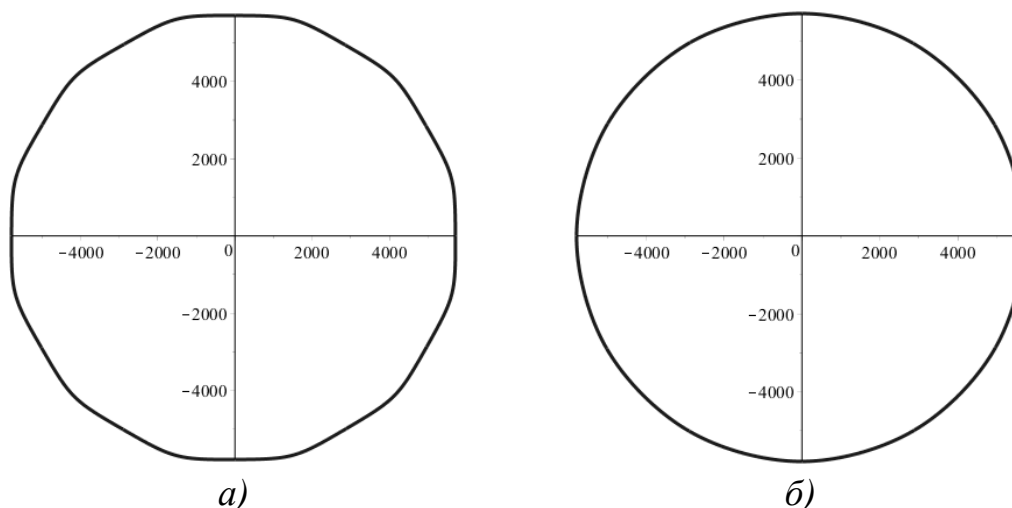


Рис. 2. Результаты построения замкнутого обвода первого порядка гладкости

**Выводы.** В работе проведены исследования влияния длин касательных на форму и кривизну замкнутого обвода первого порядка гладкости. На основании этих исследований получена геометрическая модель поверхности резервуара для хранения нефти и нефтепродуктов объёмом  $1 \text{ м}^3$  с учётом несовершенств геометрической формы, а также выполнен расчёт напряженно-деформированного состояния резервуара методом конечных элементов, что позволяет с большой достоверностью оценить его техническое состояние и предпринять необходимые и экономически обоснованные меры по поддержанию его работоспособности.

### *Литература*

1. Крысько А.А. Геометрические основы конструирования одномерного обвода через  $k$  наперед заданных точек в БН-исчислении / А.А. Крысько, Е.В. Конопацкий // Сучасні проблеми моделювання: зб. наук. праць / МДПУ ім. Б. Хмельницького; гол. ред. кол. А.В. Найдиш. – Мелітополь: Видавництво МДПУ ім. Б. Хмельницького, 2015. – Вип. 4. – С.76-81.
2. Давиденко І.П. Конструювання поверхонь просторових форм методом рухомого симплексу: дисс.... канд. техн. наук: Макеєвка: ДонНАСА, 2008. – 187 с.
3. Балюба І.Г. Точечне исчисление: учебное пособие / І.Г.Балюба, В.М.Найдыш. – Мелітополь: МГПУ ім. Б. Хмельницького, 2015. – 236 с.
4. Балюба І.Г. Конструктивна геометрія многообразий в точечном исчислении: дисс...доктора техн. наук: 05.01.01 / Балюба Иван

Григорьевич – Макеевка: МИСИ, 1995. – 227 с.

## **ОСОБЛИВОСТІ КОНСТРУЮВАННЯ ЗАМКНЕНОГО ОБВОДУ ПЕРШОГО ПОРЯДКУ ГЛАДКОСТІ У БН-ЧИСЛЕННІ**

Конопацький Е.В., Крисько А.А., Рубцов М.О.

*У роботі запропоновані дослідження способів визначення дотичних при конструюванні замкнутих обводів першого порядку гладкості у БН-численні для моделювання замкнених кілець на поверхні резервуару для зберігання нафти і нафтопродуктів із урахуванням недоліків геометричної форми.*

*Ключові слова: замкнений обвід, дуга обводу, дотична, БН-числення, точкове рівняння, кривина кривої.*

## **DESIGN FEATURES CLOSED CONTOURS FIRST ORDER SMOOTHNESS IN BN-CALCULATION**

E. Konopatskiy, A. Krysko, N. Rubtsov

*The paper presents the research methods of determining the tangent in design of closed contours of the first-order smoothness in BN-calculation for the simulation of closed rings on the surface of the tank for the storage of oil and oil products, taking into account the imperfections of geometric shapes.*

*Key words: a closed contour, contour by arc, tangent, BN-calculation, point equation, curvature of the curve.*